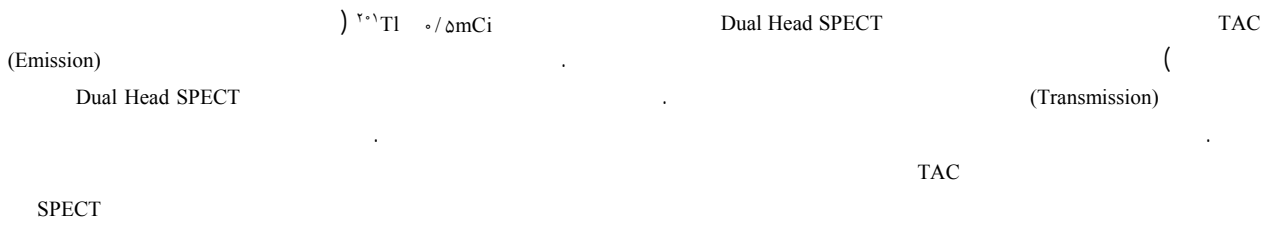


SPECT

karimian@eng.ui.ac.ir :

(دریافت مقاله: ۱۳۸۸/۵/۱۷؛ دریافت نسخه نهایی: ۱۳۸۸/۱۲/۲۵)

(Transmission Attenuation Correction)

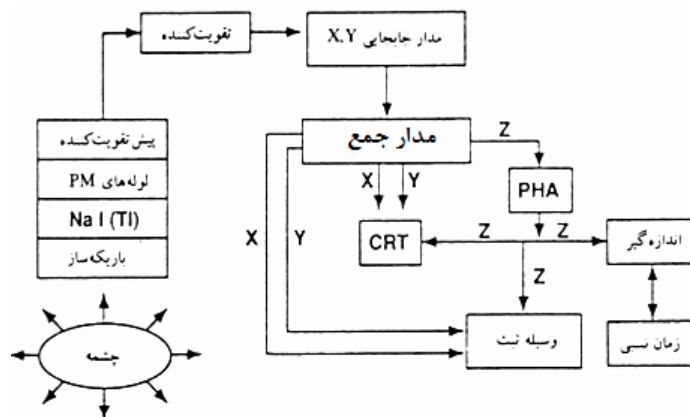


کشور ما (ایران) بیش از یکصد و پنجاه مرکز پزشکی هسته‌ای وجود دارد که بیشتر آنها مجهز به سیستم SPECT می‌باشند و تاکنون دستگاه PET در ایران نصب نشده است. در تصویرگیری پزشکی هسته‌ای ماده رادیو ایزوتوپی که به دلیل استفاده از نوع ترکیب شیمیایی مناسب و انجام آزمایش‌های کنترل کیفی گوناگون به آن رادیودارو می‌گوییم و قابلیت وارد شدن به جریان خون بدن را از طریق یکی از روش‌های تزریق، استنشاق

مؤثرترین روش جهت انجام مطالعات و بررسی فیزیولوژی و عملکرد بافت‌های بدن انسان استفاده از دستگاه‌های تصویرگیری پزشکی هسته‌ای است که شامل دوربین گاما، سیستم^۱ SPECT و سیستم^۲ PET می‌باشد. در حال حاضر در

۱. Single Photon Emission Computed Tomography

۲. Positron Emission Tomography



شکل ۱. شما و اجزای مدارهای الکترونیکی یک دوربین گاما. لوله پرتوکاتودیک (CRT)، تحلیل بلندی پالس (PHA) و لوله افزاینده نوری یا (PM) در شکل مشخص شده‌اند [۱].

پیش تقویت کننده، یک تقویت کننده، یک PHA^۱ و یک مدار مشخص کننده مکان و غیره. طرح شماتیک اجزای تشکیل دهنده یک دوربین گاما در شکل ۱ و نمایی از یک دستگاه SPECT که دارای اجزای داخلی شبیه دوربین گاما است در شکل ۲ نشان داده شده است.

سیستم SPECT از نظر ساختار مانند دوربین گاما می‌باشد با این تفاوت که سر دوربین SPECT قابلیت چرخش دور بیمار در ۳۶۰ درجه را در تعداد گام‌های مشخص مثلاً ۱۶، ۳۲ و یا ۶۴ گام و تهیه تصویر در هر یک از این گام‌ها را دارد. این قابلیت سبب می‌شود که بر محدودیت‌های اصلی تصویرگیری با دوربین گاما یعنی:

- داشتن تصاویر دوبعدی از بافت‌ها و اجسام سه بعدی نظیر قلب، امکان محو شدن نقیصه‌های فیزیولوژی و آناتومی در تصویر به دلیل قرار گرفتن آن در پشت بافت(های) دیگر،
- عدم امکان تخمين ضرایب تضعیف خطی بافت‌هایی که در مسیر حرکت فوتون‌های گاما قرار دارند،

تا حد زیادی غلبه شود [۳]. در تصویربرداری از قلب با سیستم SPECT که در آن توزیع رادیودارو در قلب مورد مطالعه قرار می‌گیرد، به دلیل تضعیف و پراکندگی فوتون‌های گاما در طول مسیر ساطع شدن از قلب، در ناحیه قفسه سینه، تا رسیدن به آشکارساز فوتون‌ها، تصویر حاصل دارای کیفیت مطلوبی

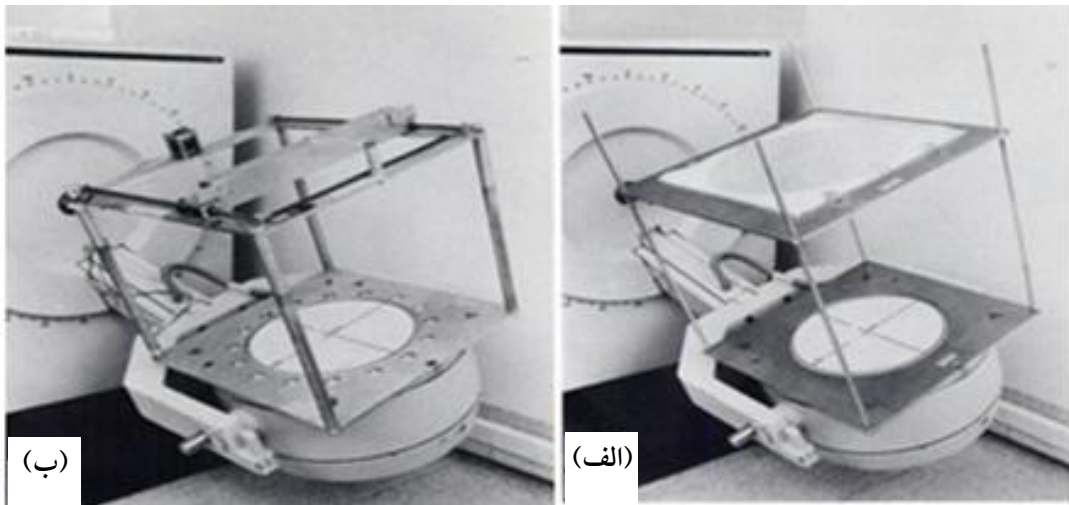


شکل ۲. نمایی از سیستم SPECT با دو آشکارساز [۲].

و یا خوردن پیدا کرده است، وارد جریان خون بدن می‌شود (معمولًا از طریق تزریق). سپس بسته به نوع ترکیب شیمیایی رادیودارو، این ماده در یک بافت بیشتر از سایر بافت‌ها جذب شده و لذا برای مطالعه آن بافت مناسب می‌باشد و استفاده می‌شود. در مطالعات قلب با روش SPECT از مواد پرتوزا تالیوم-۲۰۱ (رادیوداروی تالیوم کلراید) و یا تکنسیوم-۹۹m به همراه کیت MIBI استفاده می‌شود. این مواد پرتوزا ناشر پرتوهای گاما هستند که توزیع این مواد درون بافت قلب از طریق آشکار نمودن پرتوهای گاما ساطع شده از قلب توسط آشکارساز سوسوزن NaI(Tl) و سیستم الکترونیکی مربوطه صورت می‌گیرد که نهایتاً منجر به تشکیل تصویر از بافت مورد مطالعه (قلب) می‌شود.

سیستم SPECT معمولاً از بخش‌های مختلفی تشکیل می‌شود. یک باریکه‌ساز، یک آشکارساز، لوله‌های PM، یک

۱. Pulse-Height Analyzer



شکل ۳. (الف): تصویری از سیستم SPECT همراه چشمۀ صفحه‌ای برای تصحیح اثر تضعیف پرتوها. (ب): تصویری از سیستم SPECT همراه چشمۀ خطی برای تصحیح اثر تضعیف پرتوها [۱۱].

آشکارساز نیستند و باعث کاهش حساسیت و قدرت تفکیک مکانی می‌شوند و برای تصحیح این پارامترها مجبور هستیم ضریب کاهش مربوط به پرتو پهن را به جای پرتو باریک اندازه‌گیری کنیم.

۲- چشمۀ گسترده یک ضریب تضعیف (μ) را دارد.

۳- در این روش با چشمۀ صفحه‌ای پرتوگیری بیمار بسیار زیاد است. اما مزایای این روش عبارتند از: میدان دید (FOV)^۱ گسترده و جمع‌آوری همزمان داده‌های انتقال و گسیل که سبب کاهش زمان تصویربرداری می‌شود.

راه حل دیگر برای بهبود، استفاده از چشمۀ نقطه‌ای می‌باشد. در این روش به جای باریکه سازی با روزنه‌های مخروطی شکل استفاده می‌شود. با این هندسه قدرت تفکیک مکانی بهبود استفاده می‌شود. با این هندسه قدرت تفکیک مکانی بهبود می‌یابد، زیرا در این حالت نیازی به تصحیح ضریب تضعیف مربوط به گسترده‌گی^۲ پرتوها نمی‌باشد. اما محدودیت این روش مربوط به هندسه موازی‌ساز (collimator) به کار رفته می‌باشد، که سبب ایجاد درست نمایه‌ای^۳ حلقه‌ای در اطراف

نیست و می‌تواند سبب تشخیص بیماری به صورت نادرست و یا عدم تشخیص بیماری شود (۶۰٪ فوتون‌های ساطع شده در اثر تضعیف و تقریباً ۳۰٪ فوتون‌های آشکار شده در اثر پراکندگی می‌توانند از بین بروند) [۴]. بنابراین جهت تصحیح تضعیف و پراکندگی پرتوها در تصاویر قلب از نظر کمی و کیفی در سیستم‌های SPECT، به الگوهای نیاز می‌باشد. به دلیل اهمیت موضوع گروه‌های مختلف تحقیقاتی در سراسر دنیا بر روی تصحیح اثر پراکندگی پرتوها و نیز تصحیح اثر تضعیف پرتوها تحقیق و نتایج خود را ارائه نموده‌اند [۱۷-۵-۱۷]. بیشتر تحقیقات انجام شده مبتنی بر انجام روش‌های نرم افزاری و آن هم فقط بر روی پرتوهای پراکنده و نوفه بوده است [۱۰-۵]. به منظور انجام تصحیح تضعیف (Attenuation Correction) پرتوها در پژوهشی هسته‌ای نیاز به استفاده از سخت افزار و نرم افزار مناسب می‌باشد. روش‌هایی که تاکنون برای تصحیح تضعیف ارائه شده است استفاده از چشمۀ گسترده، چشمۀ نقطه‌ای و چشمۀ خطی می‌باشد [۱۱-۱۷].

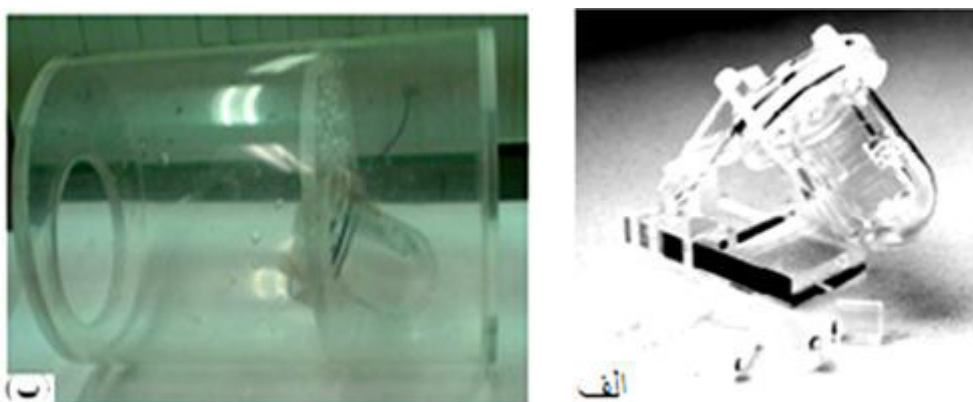
در سیستم‌های اولیه از چشمۀ صفحه‌ای مانند شکل (۳-الف) استفاده می‌شد. محدودیت‌های این روش عبارتند از:

۱- ایجاد جریان وسیعی از فوتون‌ها که همگی آنها در جهت

۱. Field of view

۲. Build up Factor

۳. Artifacts



شکل ۴. (الف) فانتوم قلب بدون بافت اطراف(ب) فانتوم قلب با بافت اطراف[۱۹].

فانتوم قلب استفاده شده است. فانتوم قلب از دو استوانه تو در تو و دو صفحه دایره‌ای شکل که به انتهای هریک از دو استوانه متصل هستند، تشکیل شده است. یک سرپوش دایره‌ای بر روی دو استوانه قرار دارد. مجموعه ذکر شده از فانتوم قلب از جنس پلکسی گلاس می‌باشد. بر روی سرپوش فانتوم قلب پیچ‌هایی از جنس پلی‌آمید قرار گرفته که دو جداره فانتوم قلب را به هم متصل نگه می‌دارند و همچنین بر روی سرپوش، حفره‌هایی جهت تزریق رادیودارو به داخل بطن‌ها تعییه شده است (شکل ۴-الف). جهت تصویربرداری از قلب بدون در نظر گرفتن بافت اطراف آن، فانتوم قلب را به تنها یک بر روی یک پایه از جنس پلکسی گلاس با زاویه‌ای مساوی با آنچه که در بدن قرار دارد (یعنی حدود ۳۵-۴۵ درجه) نصب می‌کنیم.

برای شبیه سازی هر چه بهتر و نزدیکتر به واقعیت از روش معادل سازی بافت‌ها استفاده می‌کنیم. ناحیه Thorax (از زیر گردن تا بالای پaha) از بافت‌های مختلف نظیر: استخوان قفسه سینه، ریه‌ها و بافت‌های نرمی نظیر کبد، معده و ... تشکیل شده که هر یک از این بافت‌ها ضربه تضعیف متفاوتی برای فوتون‌های گاما دارند. همچنین رادیوداروی تزریق شده به بیمار علاوه بر جذب در قلب در سایر بافت‌های ناحیه Thorax نیز جذب می‌شوند اما میزان جذب رادیو دارو در سایر بافت‌های بدن کمتر از قلب می‌باشد. در روش معادل سازی می‌توان برای شبیه سازی اثر تضعیف و پراکندگی فوتون‌ها در ناحیه Thorax تمام این ناحیه را با یک استوانه به ضخامت $5/5\text{ cm}$ و به شعاع

تصویر شده و باعث ایجاد نقص در داده‌های تصویر می‌شود. برای حذف این مشکل می‌توان از روش بازسازی تکرار^۱ که زمان بر است، استفاده نمود.

روش سوم، که معمول ترین روش جهت تصحیح اثر تضعیف پرتوها می‌باشد، استفاده از اسکن با چشمۀ خطی و سیستم SPECT می‌باشد. در این روش به دلیل استفاده از چشمۀ خطی پرتوگیری بیمار کاهش یافته و همچنین می‌توان داده‌های مربوط به گسیل و انتقال را به صورت همزمان جمع‌آوری کرد.

به عنوان مثال اگر ^{99m}Tc به عنوان ردیاب(Tracer) انتخاب شود (فوتوپیک 140 keV و نیمه عمر حدود ۶ ساعت) باید در این روش از ماده پرتوزایی با انرژی حدود رادیوداروی مصرفی نظیر ^{153}Gd با نیمه عمر $241/6$ روز و فوتوپیک‌هایی حول و حوش 100 keV استفاده نمود[۱۸]. با این وجود چشمۀ ^{153}Gd گرانقیمت و دسترسی به آن برای تمام مرکز پژوهشکی و تحقیقاتی و مخصوصاً در کشور ما ایران به آسانی امکان پذیر نیست.

در این تحقیق با ارائه یک روش جدید و ارزان قیمت و نیز با اعمال الگوریتم مناسب، توانسته‌ایم تعدادی از محدودیت‌های فوق را کاهش دهیم.

در این تحقیق جهت شبیه سازی قلب و بافت‌های اطراف آن از

شده از قلب تا رسیدن به آشکارساز، تصاویر به دست آمده دارای قدرت تفکیک مکانی پایینی می‌باشند. بنابراین برای تصحیح اثر تضعیف پرتوها به صورت دقیق و کارآمد، می‌توان با استفاده از الگوریتم تصحیح اثر تضعیف پیشنهادی در این تحقیق، هر پیکسل و یا حداکثر هر چند پیکسل را در یک ضریب تصحیح ضرب کنیم. جهت نیل به این مقصود با استخراج نمودارهایی که در شکل‌های ۵ و ۶ آمده است و با استفاده از رابطه (۶) می‌توان میزان تضعیف متوسط را برای هر پیکسل به دست آورد و بر تمام پیکسل‌های تصویر اعمال نمود. برای مثال در نقاط دارای حداکثر شمارش، این عدد برابر $\ln^{4/2}$ می‌شود. که این کار را می‌توان با استفاده از رابطه (۱) برای هر پیکسل و یا هر چند پیکسل انجام داد. بر حسب مقدار انرژی فتوپیک رادیوداروی تزریقی یکی از سه برهمنکش فیزیکی بین فوتون‌های گاما و بافت‌های بدن رخ می‌دهد. اگر انرژی کمتر از 20 keV باشد پدیده فوتولکترویک و اگر بالاتر از این مقدار باشد پدیده کمپتون غالب خواهد بود. به صورت ریاضی می‌توان بزرگی میزان تضعیف فوتون را با عبارت نمایی زیر نشان داد [۲۰]:

$$I = I_o \exp \left[- \int \mu(s) ds \right], \quad (1)$$

I و I_o به ترتیب جریان فوتون برخورده و انتقالی می‌باشند و μ ضریب کاهش خطی است. برای اعمال فاکتورهای تضعیف (ACF) باستی μ و یا $\int \mu(s) ds$ را محاسبه نمود. برای این منظور داریم:

با حضور چشمۀ خطی خواهیم داشت:

$$I_1 = I_o e^{-\mu x_1}, \quad (2)$$

و بدون حضور چشمۀ خطی داریم:

$$I_2 = I'_o e^{-\mu x_2}, \quad (3)$$

و لذا از تقسیم روابط (۲) و (۳) خواهیم داشت:

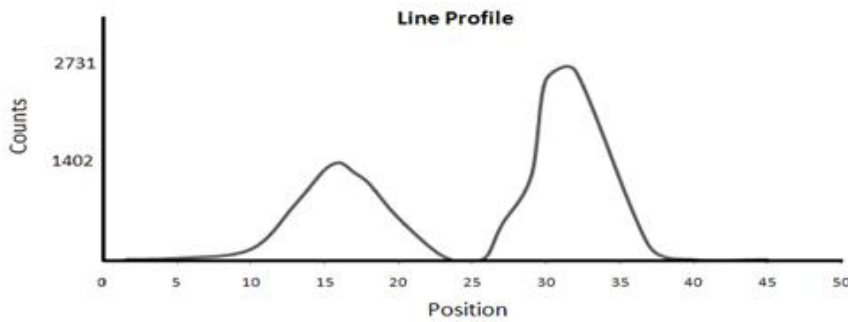
$$\frac{I_1}{I_2} = \frac{I_o}{I'_o} e^{-\mu(x_1-x_2)}, \quad (4)$$

و بنابراین ضریب تضعیف μ از رابطه (۵) محاسبه می‌شود:

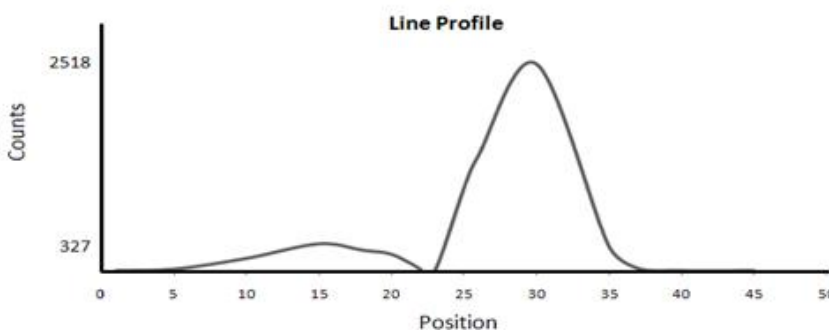
$$\mu = \ln \frac{I_1 I_o}{I_2 I'_o} \times \frac{1}{x_1 - x_2}, \quad (5)$$

۲۰ cm و ارتفاع ۳۰ cm معادل سازی نمود [۱۹]. در این تحقیق نیز از همین روش استفاده نموده‌ایم. فانتوم قلب با استفاده از یک پایه که به شکل یک صفحه دایره‌ای از جنس پلکنسی گلاس می‌باشد و با در نظر گرفتن وضعیتی که در بدن انسان قرار دارد در داخل استوانه نصب شده است. صفحه در داخل استوانه قابل چرخش است و قلب را در هر وضعیت و زاویه‌ای قرار می‌دهد. شکل ۴ تصاویری از فانتوم قلب که در مطالعات PET و SPECT استفاده می‌شود را نشان می‌دهد.

در مطالعات انسانی به دلیل جذب رادیو داروی تزریقی توسط بافت‌های دیگر نظیر تیروئید، کبد، مثانه و... در حدود ۲ تا ۵ میلی کوری ^{201}Tl به بیمار تزریق می‌شود، اما در انجام این تحقیق به دلیل استفاده از فانتوم قلب و امکان تزریق مستقیم رادیودارو به داخل قلب (فانتوم قلب) حدود 1 mCi ^{201}Tl جهت تزریق به داخل فانتوم قلب کافی می‌باشد. پس از تزریق نمودن ^{201}Tl به درون فانتوم قلب و قرار دادن آن در استوانه پر از آب که شبیه ساز تضعیف معادل در بافت‌های اطراف قلب و SPECT ناحیه Thorax است، عمل تصویربرداری با سیستم انجام می‌شود. همان‌طور که بیان شد یکی از روش‌های مربوط به تصحیح اثر تضعیف، استفاده از چشمۀ خطی که در داخل دستگاه تجاری TAC^۱ سیستم SPECT است، می‌باشد. به عبارتی استفاده از چشمۀ انتقال خطی و همان‌طور که بیان شد باید از رادیودارویی در این روش استفاده کرد که انرژی آن حدود انرژی فتوپیک رادیونوکلئید تزریق شده به فانتوم قلب باشد و بهترین انتخاب برای این مورد ^{153}Gd می‌باشد و از آنجایی که تهیه آن به طور معمول پر هزینه بوده و برای کشور ما با محدودیت همراه است، در این تحقیق از یک چشمۀ خطی (سرنگ) که حاوی 0.5 mCi از رادیوداروی تزریقی به فانتوم قلب (^{201}Tl) می‌باشد، در کنار فانتوم استفاده نمودیم و به این ترتیب علاوه بر تابش گسیل تابش انتقال را هم ایجاد کردیم. در صورت استفاده از الگوریتم پیشنهادی در این تحقیق تصاویر به دست آمده از نظر کیفیت بهبود قابل ملاحظه‌ای می‌یابند. به دلیل وجود تضعیف و پراکندگی در مسیر پرتوهای ساطع



شکل ۵. نمودار مربوط به میزان شمارش جمع شده از فانتوم قلب توسط سیستم SPECT با در نظر گرفتن اثر بافت‌های اطراف قلب و با وجود چشمۀ خطی (سرنگ).



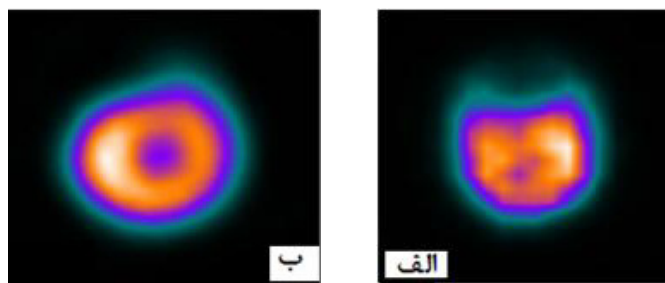
شکل ۶. نمودار مربوط به میزان شمارش جمع شده از فانتوم قلب توسط سیستم SPECT با در نظر گرفتن اثر بافت‌های اطراف قلب در غیاب چشمۀ خطی.

$$\ln \frac{1402}{327} = \ln \frac{\text{فانتوم با آب و با وجود چشمۀ خطی}}{\text{فانتوم با آب بدون چشمۀ خطی}} \cong \ln \frac{4}{2} \quad (6)$$

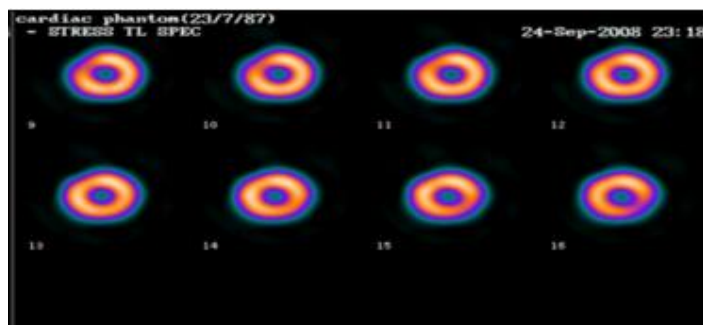
همچنین از روش‌های پس نقش فیلتر شده (FBP)^۱ و تکرار (Iteration) جهت بازسازی تصویر استفاده می‌شود [۲۱ و ۲۲]. از آنجا که تصویر پردازش شده با روش پس نقش فیلتر شده دارای نوفرۀ زیادی نسبت به روش تکرار بوده می‌توان این محدودیت را با اعمال فیلترهای مختلف پایین‌گذار برطرف نمود [۲۲]. بنابراین فیلترهای نظیر: Hamming, Hanning, Ramp و Butterworth بر روی تصاویر اعمال می‌گردند.

به هنگام استفاده از چشمۀ خطی (سرنگ) در کنار فانتوم قلب، مانند این است که قلب را علاوه بر گسیل تابش به صورت

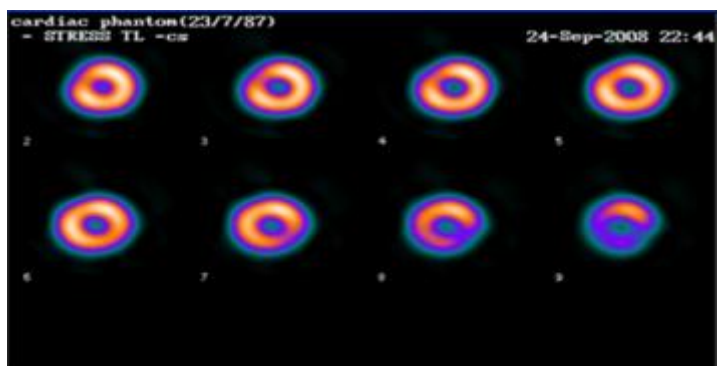
که I_0 و I'_0 با توجه به میزان فعالیت^۱ چشمۀ (ها) تعیین می‌شوند و I_1 و I'_1 به وسیله شمارش جمع آوری شده توسط دستگاه SPECT مشخص می‌شوند و x_0 و x'_0 فاصله چشمۀ (ها) از سطح آشکارساز دستگاه SPECT است. به این ترتیب با استفاده از نمودارهای مربوط به میزان شمارش جمع آوری شده از فانتوم قلب توسط سیستم SPECT با در نظر گرفتن اثر بافت‌های اطراف قلب (استوانه فانتوم قلب پر از آب) و بدون حضور چشمۀ خطی، همچنین نمودارهای مربوط به میزان شمارش جمع آوری شده از فانتوم قلب با در نظر گرفتن اثر بافت‌های اطراف قلب و با وجود چشمۀ خطی (سرنگ) که به ترتیب ۳۲۷ و ۱۴۰۲ برای پیکسل‌های دارای شمارش بیشینه می‌باشد، می‌توان ضریب تضعیف را به دست آورد. با ضرب این پیکسل‌ها در این ضریب اثر تضعیف به مقدار زیادی تصحیح می‌شود. مقدار تضعیف فوتون‌های گسیل شده:



شکل ۷. (الف) تصویر فانتوم قلب با در نظر گرفتن اثر بافت‌های اطراف قلب (حالت واقعی) بدون تصحیح اثر تضعیف پرتوها. (ب) تصویر فانتوم قلب با در نظر گرفتن اثر بافت‌های اطراف قلب (حالت واقعی) و پس از اعمال روش‌های پیشنهادی در این تحقیق.



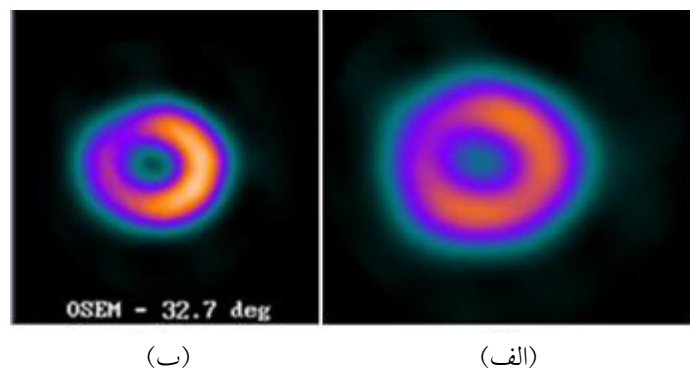
شکل ۸. تصاویر برشی فانتوم قلب با در نظر گرفتن اثر بافت‌های اطراف قلب (حالت واقعی) و پس از اعمال روش‌های پیشنهادی در این تحقیق.



شکل ۹. تصویر فانتوم قلب بدون در نظر گرفتن اثر بافت‌های اطراف قلب (حالت ایده‌آل- استوانه‌ی آب اطراف فانتوم قلب که شبیه ساز ناحیه Thorax است، وجود ندارد)

تصویر واقعی به میزان چشمگیری بهبود می‌یابد. همچنین در شکل ۹ تصویر فانتوم قلب را بدون در نظر گرفتن اثر تضعیف بافت‌های اطراف قلب (استوانه‌ی آب اطراف فانتوم قلب که شبیه‌ساز ناحیه Thorax است، وجود ندارد) که فقط توسط آزمایش با فانتوم قلب امکان پذیر است و می‌توان قلب را جداگانه و خارج از بدن تصویرگیری نمود، آمده است. از مقایسه تصاویر ۸ و ۹ در می‌یابیم که روش پیشنهادی در این تحقیق چقدر توانسته است اثر تضعیف پرتوهای حاصل از بافت‌های قلب را بهبود بخشد و تصویری

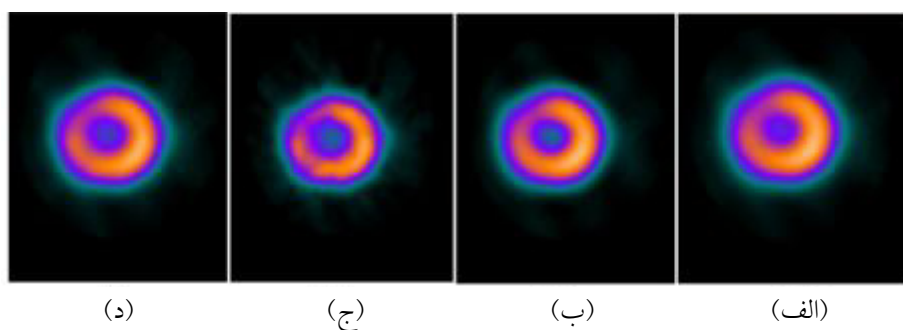
انتقال و توسط چشم خطی نیز تحت تابش قرار داده‌ایم و به این ترتیب می‌توان با به کار گرفتن الگوریتم پیشنهادی در این تحقیق اثر تضعیف پرتوها را به مقدار زیادی تصحیح نمود. با محاسبه پروفایل‌هایی که در شکل‌های ۵ و ۶ آمده است و با استفاده از رابطه (۶) می‌توان میزان تضعیف را برای هر پیکسل (و یا هر چند پیکسل) به دست آورد و آنها را تصحیح نمود. شکل‌های ۷ و ۸ نشان می‌دهند که با استفاده از روش پیشنهادی در این تحقیق و الگوریتم ارائه شده در این تحقیق



(ب)

(الف)

شکل ۱۰. تصویر پردازش شده فانتوم قلب با در نظر گرفتن اثر بافت‌های اطراف قلب. (الف) روش پس نقش فیلتر شده، (ب) روش تکرار.



(د)

(ج)

(ب)

(الف)

شکل ۱۱. تصویر فانتوم قلب با استوانه پر از آب پس از اعمال فیلترهای: (الف) Butterworth، (ب) Ramp، (ج) Hamming، (د) Hanning.

در حال حاضر تهیه آن نیز بسیار دشوار است) می‌توان به آسانی از یک چشم خطي (سرنگ) که حاوی رادیوداروی تزریقی به بیمار می‌باشد و الگوریتم‌های پیشنهادی در این تحقیق استفاده نمود و همچنین با این روش می‌توان زمان تصویربرداری را به حدود نصف کاهش داد، زیرا جمع‌آوری داده‌های گسیل و انتقال در حالت همزمان صورت می‌گیرد، علاوه بر آن می‌توان با استفاده از روش بازسازی تکرار می‌توان نوفه موجود در تصویر را به مقدار بیشتری کاهش داده و کیفیت تصویر را ارتقاء بخشید؛ اگرچه نسبت به حالت پس نقش فیلتر شده بیشتر زمان بر است، اما تصویری با کیفیت مطلوب‌تری را فراهم می‌نماید.

از سرکار خانم صدیقه مرادخانی و آقای مهندس مهریان پولادی کارشناسان محترم پژوهشکده تحقیقات کشاورزی و پزشکی هسته‌ای سازمان انرژی اتمی ایران و همچنین از مساعده و پشتیبانی آن سازمان نهایت قدردانی را داریم.

بسیار نزدیک به حالت تصویرگیری از قلب به تنها یارایه دهد. علاوه بر این برای داشتن تصویر بهتر می‌توان از روش‌های پس نقش فیلتر شده با اعمال فیلترهای پایین گذر و یا از روش تکرار استفاده نمود. همان‌طور که در شکل ۱۰ مشخص است، تصویر پردازش شده با روش پس نقش فیلتر شده دارای نویه زیادی نسبت به روش تکرار بوده که می‌توان این مشکل را با اعمال فیلترهای مختلف پایین گذر بروط کرد.

با بررسی شکل ۱۱ دیده می‌شود که بیشترین صاف‌شدگی مربوط به فیلتر Butterworth بوده و حداقل صاف‌شدگی را فیلتر Ramp دارد. همگی این فیلترها، فیلترهای پایین گذر بوده، زیرا ساختارهایی با فرکانس پایین را نگه داشته در حالی که جزئیات تصویر با فرکانس بالا را حذف می‌کنند و لذا مناسب‌ترین فیلتر جهت تصاویر قلب در روش پزشکی هسته‌ای استفاده از فیلتر Butterworth می‌باشد.

لذا این تحقیق به خوبی نشان داد که به جای استفاده از سخت افزار گران‌قیمت تجاری TAC (دو چشمۀ گران‌قیمت ^{153}Gd) که

11. P Tan, D L Bailey, S R Meikle, S Eberl, R R Fulton and B F Hutton. *The Journal of Nuclear Medicine*, **34**, (1993) 10.
12. A Karimian, M Mohamadrezaee, F Saddadi, Gh. Forozani, *World Congress on Medical Physics and Biomedical Engineering*, Munich-Germany, Sept. (2009).
13. علیرضا کریمیان، ماهان محمد رضایی، فربا سدادی، قاسم فروزانی، صدیقه مرادخانی، مهریان پولادی، کنفرانس فیزیک ایران، دانشگاه صنعتی اصفهان (۱۳۸۸) ۶۰۵.
14. E C Frey, B M Tsui and J R Perry. *J. Nucl. Med.*, **33** (1992) 223.
15. R J Gilland, D R Hanson, M W Jang, K L Greer and R E Coleman. *J. Nucl. Med.*, **34** (1993) 1577.
16. H Zaidi, M L Montandon and A alavi. <http://pet.Theclinics.com>.
17. H Zaidi and B Hasegawa. *J. Nucl. Med.*, **44** (2003) 291.
18. http://www.isotopeproducts.com/html/support_tools_source.asp.
19. Cardiac Phantom User Manual, Data Spectrum Corporation (2004)1-16.
20. Lee-Tzuu Chang. *IEEE*, NS-25, **1** (1978).
21. E P Ficaro, J A Fessler, R J Ackermann, W L Rogers, J R Corbett and M Schwaiger, *Division of Nucl. Med.*, (1994) 921.
22. رافائل سی، گونزالس ریچاردی، وودز، پردازش تصویری رقمی، ترجمه دکتر مرتضی خادمی، مهندس داود جعفری، انتشارات دانشگاه فردوسی مشهد (۱۳۸۲).
1. گوپال ساها.، فیزیک و رادیوبیولوژی پزشکی هسته‌ای، ترجمه دکتر عباس تکاور، دکتر محمد افخاری، انتشارات آییز (۱۳۸۱).
2. <http://www.owlnet.rice.edu/~elec539/Projects97/cult/node1.html>
3. کرک شانگ، مایکل بروس اسمیت و بنجامین تسویی، اصول سیستم‌های تصویرگر پزشکی، ترجمه دکتر منصور وفادوست، انتشارات دانشگاه صنعتی امیرکبیر (۱۳۸۰) ۲۹۴.
4. R Z Stodika, B J Kemp, P Msaki, F S Prato and R L Nicholson. *Phys. Med. Biol.*, **43** (1998) 2991.
5. N Riyahi-Alam, N Alababaei, A Takavar, M Sohrabi, A Fard-Esfahani, M A Oghabian, M Bakhtiary. *28th Annual International Conference of the IEEE Engineering in Medicine and Biology Society*, Sept (2006) 4787.
6. Y Jin, E Angelini, P Esser, and A Laine, *International Conference on Medical Image Computing and Computer Assisted Interventions, Montreal, Canada*, **2879**, 2 (2003) 32.
7. W Li, W Junhai, Y Jing, Ch Yunbin, L Zhengrong. *Physics of Medical Imaging*, **7258** (2009) 725820.
8. E D Angelini, J Kalifa and A F Laine, in *Proc. IEEE international Symposium on biomedical Imaging (ISBI)*, Washington, D. C., USA, **1** (2002) 697.
9. H Li, Y Zheng, *IEEE International Conference on Image Processing*, 8-11 Oct. (2006) 905.
10. N Khelifa, N Gribaa, I Mbazaa, and K Hamruoni. *International Journal of Biomedical Imaging*, (2009) 10.